

КВАЗИОДНОМЕРНЫЕ СОСТОЯНИЯ ЭЛЕКТРОНА В ДВОЙНОЙ КВАНТОВОЙ ЯМЕ С Н-ОБРАЗНОЙ СВЯЗЬЮ

Е.Л.Ивченко, А.А.Киселев

*Физико-технический институт им. А.Ф.Иоффе РАН
194021 Санкт-Петербург, Россия*

Поступила в редакцию 29 апреля 1993 г.

Рассмотрен новый тип квазиодномерных состояний в паре квантовых ям, разделенных высоким барьером и связанных полоской из узкозонного материала. Волновая функция локализованного электрона образует в ямах два размытых облака, привязанных к перемычке. Для системы GaAs/AlAs рассчитана зависимость энергии локализации от ширины связи.

Недавно при выращивании многослойных гетероструктур GaAs/AlAs (311) с гофрированными поверхностями в один из слоев AlAs удалось внедрить одномерные кластеры GaAs [1]. Сечение кластера имеет форму ромба с диагоналями 32 и 20,4 Å. Каждая из вершин тупого угла ромба касается одного из выступов, получаемых при сечении гофрированной (фасетированной) гетерограницы плоскостью (233). В результате два соседних слоя GaAs, разделенных барьерным слоем AlAs, оказываются связанными одномерной ромбической перемычкой из GaAs. В такой структуре для свободных носителей (или экситонов) существуют квазиодномерные состояния с волновой функцией в виде двух облаков, размытых внутри слоев GaAs и привязанных к одномерному кластеру. Этим структура с кластерами отличается от обычно обсуждаемых структур с квантовыми проволоками [2], в которых волновая функция сосредоточена в основном внутри проволоки.

Наличие квазиодномерных состояний в гетероструктуре GaAs/AlAs(311) с кластерами подтверждается появлением дополнительных линий в спектрах фотолюминесценции [1] и аномальным возрастанием силы осциллятора экситона, определяемой по спектрам резонансного отражения света [3]. В настоящей работе рассчитаны форма волновой функции и энергия локализации электрона в двойной яме со связующим кластером из того же материала. Отвлекаясь от особенностей, обусловленных гофром гетерограниц и ромбической формой сечения кластера, мы рассматриваем здесь более простую модельную структуру с плоскими интерфейсами и Н-образной связью (рис.1,а). Для простоты потенциальный барьер полагается бесконечно высоким.

Огибающая волновой функции ищется в виде $e^{iqy}\phi(x, z)$, поскольку структура однородна в направлении оси y . Функция $\phi(x, z)$ удовлетворяет двумерному уравнению Гельмгольца

$$\left(\frac{\partial^2}{\partial x^2} + \frac{\partial^2}{\partial z^2} + \frac{2m}{\hbar^2} E \right) \phi(x, z) = 0 \quad (1)$$

с граничным условием на контуре поперечного сечения интерфейсов $\phi(x, z) = 0$; энергия электрона, отсчитываемая от дна зоны проводимости объемного GaAs, равна сумме $E + \hbar^2 q^2 / 2m$, где m – эффективная масса. Данная задача близка по постановке к краевым задачам для волноводных мод в резонаторах [4],

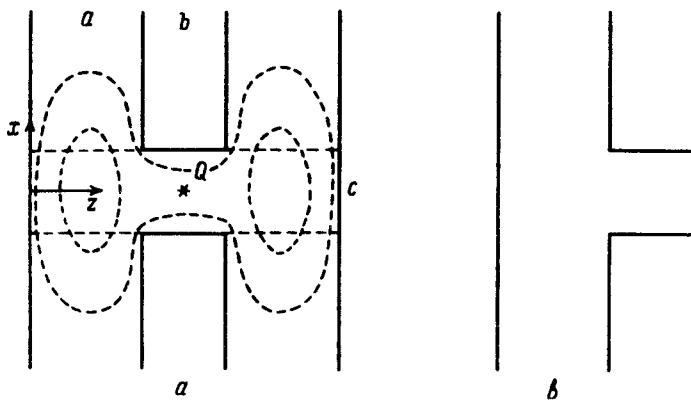


Рис. 1. a) Структура GaAs/AlAs с парой квантовых ям, связанных перемычкой из GaAs шириной c ; b) структура с квантовой ямой, содержащей одномерный расширенный участок $(a+b) \times c$. Пунктирные кривые – линии равной плотности вероятности $\phi^2(x, z)$ для основного квазидиодномерного состояния электрона

отличаясь от последних отсутствием векторной структуры у волновой функции $\phi(x, z)$.

Пользуясь методом частичных областей, запишем общее решение в области перемычки $\Omega = (|x| < c/2; 0 < z < d = 2a + b)$ в виде суммы

$$\phi(x, z) = \sum_i C_i \sin(K_i z) \cos(Q_i x), \quad (2)$$

где $K_i = \pi i / d$, $Q_i = [(2mE/\hbar^2) - K_i^2]^{1/2}$. Здесь учтено, что для нижних состояний функция $\phi(x, z)$ симметрична к отражению $x \rightarrow -x$. Что касается симметрии к отражению в плоскости σ_z , проходящей через центр структуры (преобразование $z \rightarrow d - z$), то для четных решений, к которым относится и основное состояние 1, в сумме (2) $i = 1, 3, \dots$, а для нечетных решений (включая первое возбужденное состояние 2) $i = 2, 4, \dots$. Вне области Ω в левой яме

$$\phi(x, z) = \sum_j D_j \sin(k_j z) e^{-\kappa_j \bar{x}}, \quad (3)$$

где $k_j = \pi j / a$, $\kappa_j = [k_j^2 - (2mE/\hbar^2)]^{1/2}$, $\bar{x} = |x| - c/2$. Решение в правой яме получается из (3) заменой $z \rightarrow d - z$ и умножением на ± 1 соответственно для четных и нечетных состояний.

Функции (2), (3) и их производные по x сшиваются на отрезках общей границы областей при $x = \pm c/2$. Умножая условие непрерывности функций на $\sin(K_i z)$, а условие непрерывности производных на $\sin(k_j z)$, интегрируя по z и исключая коэффициенты D_i , приходим к системе однородных линейных уравнений для коэффициентов C_i :

$$\sum_i C_i [\cos(Q_m c/2) \delta_{mi} - 8\eta Q_i dv_{mi} \sin(Q_i c/2) \sin(K_m a) \sin(K_i a)] = 0, \quad (4)$$

$$v_{mi} = \sum_j \frac{j^2}{\kappa_j a (\eta m^2 - j^2)(\eta i^2 - j^2)}, \quad \eta = (a/d)^2.$$

Собственные значения энергии находятся из условия существования нетривиального решения системы (4).

На рис. 2 представлена зависимость энергии $E_{1,2}$ основного и первого возбужденного состояний 1 и 2 от ширины перемычки c (на рисунке все значения энергии отсчитываются от дна нижней подзоны зоны проводимости $E_0 = \hbar^2\pi^2/2ma^2$ в одиночной яме шириной a). Распределение электронной плотности для состояния 1 показано схематически пунктирными кривыми на рис. 1, а.

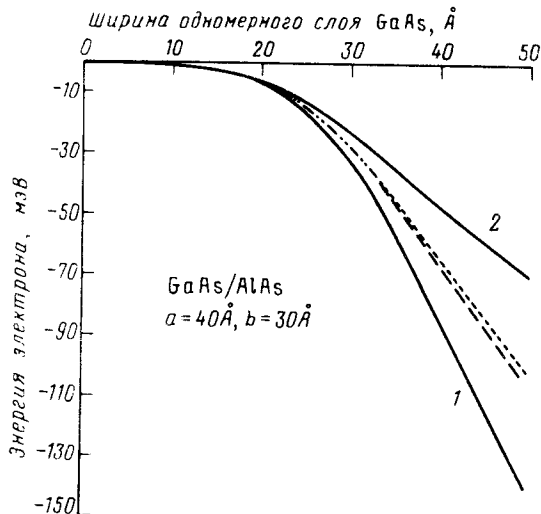


Рис. 2. Зависимость энергии электрона, локализованного в двойной квантовой яме с H -образной связью: 1 – основное состояние, симметричное относительно центра структуры Q (рис. 1, а); 2 – первое возбужденное состояние, нечетное к отражению в плоскости σ_x , проходящей через центр Q ; пунктируя кривая – основное состояние для структуры на рис. 1, б; штриховая кривая – среднее арифметическое между значениями для кривых 1 и 2. Энергия отсчитывается от дна нижней подзоны проводимости в одиночной яме шириной a .

Полученные состояния удобно проанализировать с точки зрения метода сильной связи, а именно: рассматривать состояния 1 и 2 как линейные комбинации $(\phi_l \pm \phi_r)/\sqrt{2}$, где ϕ_l и ϕ_r – волновые функции основных состояний в одной левой или одной правой яме с расширенным участком типа изображенной на рис. 1, б. На рис. 2 пунктируя кривая изображает зависимость энергии основного состояния от ширины c для структуры рис. 1, б с нестандартным участком толщиной $a + b$. Как видно, получаемые в этом случае значения энергии близки к среднему арифметическому $\bar{E} = (E_1 + E_2)/2$ (штриховая кривая). Таким образом, в исследованном диапазоне ширин $c < 50 \text{ \AA}$ состояния 1 и 2 можно рассматривать в рамках метода сильной связи с интегралом перекрытия невозмущенных состояний $I = -(E_2 - E_1)/2$. Отсюда, в частности, следует, что в электрическом поле $F \parallel z$ расщепление между уровнями 1 и 2 увеличивается с $2|I|$ до $[4I^2 + (eF\xi)^2]^{1/2}$, где ξ – расстояние между центрами распределения плотности ϕ_l^2 и ϕ_r^2 , которое близко к расстоянию $a + b$ между центрами ям. Для структуры на рис. 1, а с шириной $c = 30 \text{ \AA}$ имеем $I \simeq -4 \text{ мэВ}$ и расщепление между нижними уровнями возрастает в $\sqrt{2}$ раз в умеренном поле $F \sim 10^4 \text{ В/см}$.

Представляет также интерес сравнить значения \bar{E} с энергией первого уровня размерного квантования $E_1^{(1D)}$ для одномерного электрона массы m в потенциальной яме: $V(x) = E'_0 \equiv \hbar^2\pi^2/2m(a+b)^2$ при $|x| < c/2$ и $V(x) = E_0 \equiv \hbar^2\pi^2/2ma^2$ при $|x| > c/2$. При $a = 40 \text{ \AA}$, $b = 30 \text{ \AA}$ и $c = 30 \text{ \AA}$ получаем $\bar{E} - E_0 = -27 \text{ мэВ}$ и $E_1^{(1D)} - E_0 = -103 \text{ мэВ}$. Значительное расхождение результатов свидетельствует о неприменимости простой одномерной модели

для описания локализованных состояний (2), (3). Заметим, что учет конечной высоты барьера в структуре GaAs/AlAs может несколько перенормировать энергию локализации квазиодномерного электрона.

В заключение обратим внимание на возможность формирования еще одного типа квазиодномерных состояний, аналогичных волноводным модам в открытых резонаторах с цилиндрическими зеркалами [5]. При этом роль сужающегося волновода играют барьерные слои. При оптимальном профиле гетерогранических поверхностей затухание, связанное с уходом электрона из такой ловушки, может быть очень малым.

-
1. Ж.И.Алферов, А.Ю.Егоров, А.Е.Жуков и др., ФТП **26**, 1715 (1992).
 2. D.S.Citrin and Y.C.Chang, Phys. Rev. B**40**, 5507 (1989); J. Appl. Phys. **68**, 161 (1990).
 3. E.L.Ivchenko, A.V.Kavokin, V.P.Kochereshko, et al., Superlatt. Microstruct. **12**, 317 (1992).
 4. Волноводы с поперечным сечением сложной формы, под ред. В.М.Седых, Харьков, 1979.
 5. Л.А.Вайнштейн, Открытые резонаторы и открытые волноводы, М.: Советское радио, 1966.